

PST-02-114

PST-02-114~123

# 電気学会研究会資料

The Papers of Technical Meeting on  
Plasma Science and Technology, IEE Japan

プラズマ研究会

PST-02-114~123

2002年10月26日

同志社大学

社団法人 電気学会

The Institute of Electrical Engineers of Japan  
東京都千代田区五番町 6-2



# 誘電体バリア放電を用いた de-NOx の反応温度依存性

長尾一聖 \*、山本極、行村建（同志社大学）、  
神原信志（出光興産株）、丸山敏朗（京都大学）

Reaction Temperature for De-NOx Using Dielectric Barrier Discharge

Issei NAGAO, Kiwamu YAMAMOTO, Ken YUKIMURA (Doshisha University),  
Shinji KAMBARA (Idemitsu Kosan Co.LTD), Toshiro MARUYAMA (Kyoto University)

## Abstract

NO in N<sub>2</sub> gas was removed by injecting ammonia radicals, which were externally generated by flowing NH<sub>3</sub> gas diluted with Ar gas through a dielectric barrier discharge with a one-cycle sinusoidal-wave power source. The discharge was intermittently formed between coaxial cylindrical electrodes with a space of 1.5 mm at an applied peak-to-peak voltage of 10 kV. The generated ammonia radicals were introduced in a reaction chamber and mixed with NO gas, which was diluted with N<sub>2</sub>. Gas temperature effect of NO reduction in ammonia radical injection system was discussed. NO reduction abruptly increases at a designated temperature at a threshold of the ammonia volume being in the reaction chamber and saturates in a temperature higher than the critical value. The saturated values and the critical temperature are dependent on the gas parameters such as concentration of NO gas and ammonia gas.

キーワード：誘電体バリア放電、NOx処理、アンモニアラジカル

**Keywords:** Dielectric barrier discharge, NOx removal, Ammonia radical

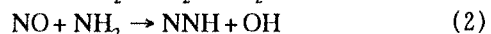
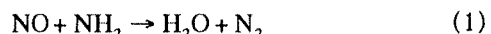
## 1. はじめに

石炭燃焼プロセスにおける高効率脱硝方法としてラジカル連鎖反応を利用したラジカルインジェクション脱硝法の確立を目的として装置開発を行ってきた。装置構成は、NOガスの流れの場の中にプラズマにて生成されたアンモニアラジカルを注入する方法であり、NO自身はプラズマ化されず、単にラジカルの照射を受けるのみである。今までの研究により、内部エネルギー効率として140 g/kWhが得られた。脱硝に有効なラジカルの生成にのみプラズマを利用するので、経済性に優れ、かつ簡単な構成でスケーリングの可能な実用装置とすることができます。従来法の多くは、NOx中にプラズマ生成用の電極が挿入される。このため、装置寿命、スケーリングに課題がある。

本研究で用いたラジカルの発生は、大気圧誘電体バリア放電(無声放電)である[1,2]。他の放電形式としてパルスコロナ放電[1][3,4]、沿面放電などの大気圧非平衡プラズマによる生成法があげられるが、誘電体バリア放電は、絶縁体を介在するプラズマであるため、絶縁体として耐性の高い材料を選択すれば、プラズマ脱硝装置の寿命を長くすることが可能であり、他の方法と比べて有利な点を持つ。

## 2. ラジカル反応によるNO脱硝

NOの分解には次のような還元反応が有効であると考えられる[5]。



また、以下に示すような反応によりNOが再生成されると考えられる。



分解に有効とされているNH<sub>2</sub>ラジカルは、プラズマ中の電子衝突によりNH<sub>3</sub>を分解することにより生成される。また、NOとNH<sub>2</sub>反応によってNNHを生成し、再度NOと反応させるなどの還元作用による連鎖反応を起こすことでNOxの処理率を高めることができる。

## 3. 実験方法

### 3.1 実験装置

実験装置の概略図をFig. 1に示す。NOガスはN<sub>2</sub>希釈で300 ppm、1000 ppmと3000 ppmである。NH<sub>3</sub>ガスはAr希釈781 ppmから2250 ppmのものを用いた。ガスブレンダーにより、NOガス、NH<sub>3</sub>ガスの流量、濃度をそれぞれ調整した。NOガスを流量1.49 l/minで直径50 mm長さ1.3 mの反応管側に流し、NH<sub>3</sub>ガスは放電管(ラジカルインジェクター)を通しラジカル化して反応管に注入した。反応管に流したNOガスの濃度の変化を反応管排気側に設置したNOx-N<sub>2</sub>O測定装置(堀場製作所製 ES-C510SS、VIA-510型)により調べることでNOの除去率を測定した。NOx計ではNO、NO<sub>x</sub>(NO+NO<sub>2</sub>)、N<sub>2</sub>O濃度を測定



した。また、反応管からの排気ガス中に含まれる  $\text{NH}_3$  ガスは、測定後、水シャワーによるスクラバーを通して除去した。

反応速度の反応温度の影響を調べるためにラジカル混合部の温度を  $381 \sim 600^\circ\text{C}$  の範囲で変化させた。加熱用のヒーターは、図に示すように、NO の導入部、ラジカル注入直後、NO 排出部のそれぞれの管外に設置し、外壁より加熱した。(図中 Heater 1 ~ 3)

### 3-2 ラジカルインジェクター

Fig. 2 は放電管の構造を示す。同軸円筒の内部電極(直径 50 mm、SUS304 型)と外部メッシュ電極(鉄製メッシュ、接地)に、内径 57 mm(厚さ 2 mm)の外筒と外径 54 mm(厚さ 2 mm)の内筒の 2 つの誘電体(絶縁体)を中心円状に設置し、誘電体間は 1.5 mm のギャップで、誘電体バリア放電を発生させた。外側の接地電極は間欠パルス電圧を用いているため冷却の必要はなかった。

高周波高圧電源として、正弦 2 波からなるインパルス型電源(ハイデン研究所製 PHF-2K-2V 型)を用いた。Fig. 3 にその電圧波形を示す。 $T_0 = 10 \mu\text{s}$  を一定の繰り返し周期  $T_1$  で印加する。本電源を OCS(One-Cycle Sinusoidal)電源と称する。 $T_1$  の逆数は 1 秒あたりの繰り返し数( $R_k$ )に相当する。Fig. 3 の印加電圧値は、最大値と最小値の差である  $V_{pp}$  を用いた。 $R_k$  の 1 kHz はデューティ比 1% に相当する。

## 4. 実験結果

本論文では、NO-NH<sub>x</sub> ラジカル分子の熱反応過程を見るため、高圧電源を  $V_{pp} = 10 \text{ kV}$ 、 $R_k = 10 \text{ kHz}$  で放電電力は約 15 W 一定とプラズマの状態を固定した条件下で、NO ガスの温度を変化させ NO 除去率を測定した。

### 4.1 NO 除去率の反応温度依存性

Fig.4(a) に  $\text{N}_2$  希釈 NO 濃度 300、1000、3000 ppm、1.49 l/min、Ar 希釈  $\text{NH}_3$  濃度 2250 ppm、0.98 l/min の実験条件の下で、ラジカル混合部の温度を変化させたときの NO 除去率を示す。300、1000 ppm の時、約  $490^\circ\text{C}$ 、 $530^\circ\text{C}$  で急激に NO 除去率が増加し、わずかな温度上昇により 100 % に近い値が得られる。3000 ppm では  $545^\circ\text{C}$  で除去率が急増し、約 30 % で飽和した。Fig.4(b) に NO 濃度 1000 ppm、 $\text{NH}_3$  濃度を 1355、1930、2250 ppm と変化したときの NO 除去率に対する反応温度の影響を示す。除去率は、 $\text{NH}_3$  入口濃度が低くなるにつれ低くなつたが、1930 ppm では反応温度の幅約  $30^\circ\text{C}$  の間に、1355 ppm では約  $40^\circ\text{C}$  の間に除去率の急激な増加が見られる。

急激な NO 除去率を示す温度  $T_c$  および NO 除去率はそれぞれの NO 濃度で異なるが、同一の電気入力において濃度の増加とともに NO 除去率の低下と  $T_c$  の増加が見られる。また、飽和以降の NO 除去率を詳細に観測すると、温度の増加とともにわずかに低下する傾向が見られる。NO の再生成を示唆する。 $\text{NH}_3$  濃度をさらに低下させ、781 ppm および 1125 ppm についても同様の温度依存性を調べた。その結果、NO 除去率は最大で 4 ~ 14 % 程度と低い値であった。しかるに、アンモニア濃度を変えたときの温度依存性は 2250 ppm を除いて共通して  $508^\circ\text{C}$

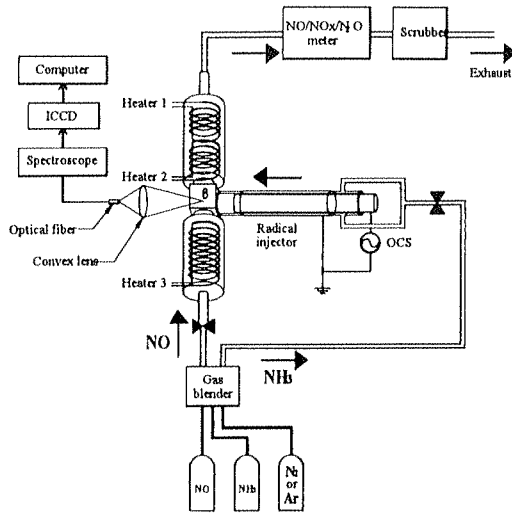


図 1 実験装置

Fig. 1 Schematic diagram of experimental apparatus.

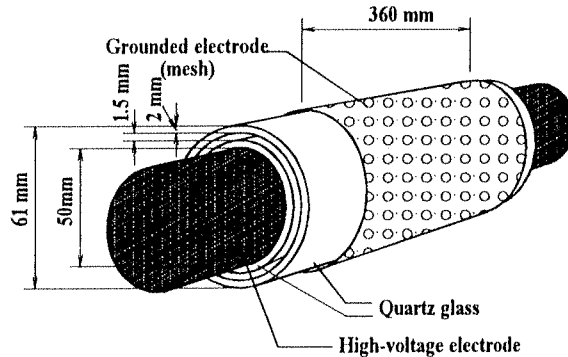


図 2 ラジカルインジェクタ

Fig. 2 Structure of Radical injector.

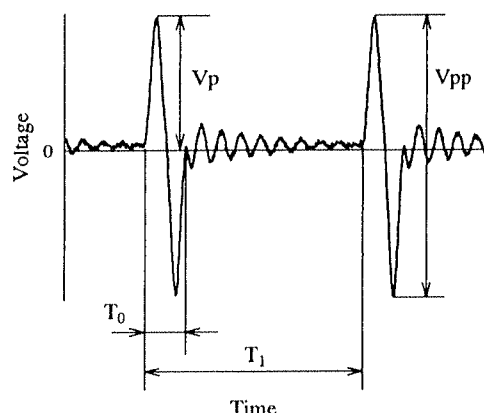


図 3 OCS 電源電圧波形

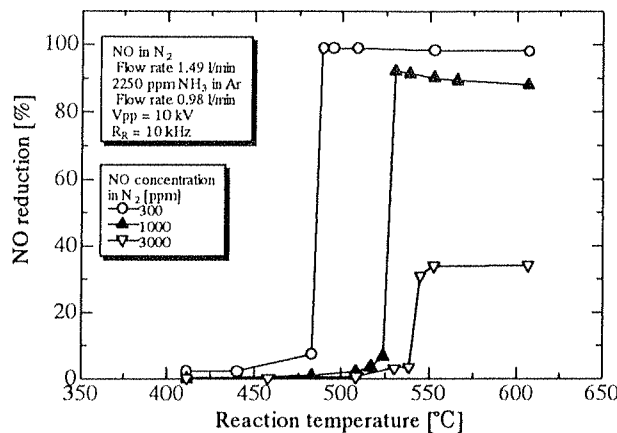
Fig. 3 Waveform of voltage supplied from OCS power source.

において NO 除去率の急激な変化あるいは最大となるのが認められた。

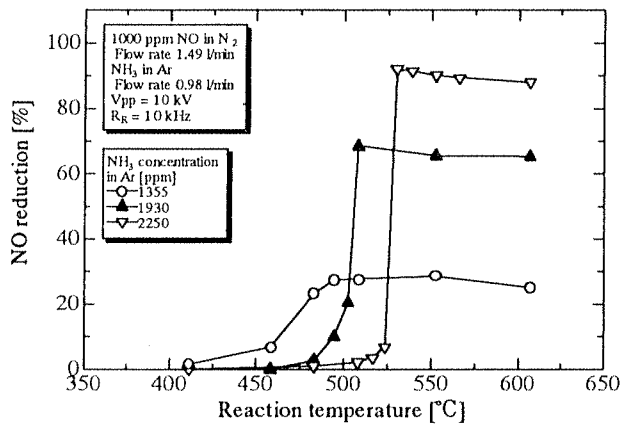
### 4.2 NO 除去率の $\text{NH}_3$ 入口濃度依存性

Fig.5(a) は 3 種の NO 濃度について NO 除去率が最大を示す温





(a) NO concentration at the inlet



(b) NH<sub>3</sub> concentration at the inlet of the mixing zone

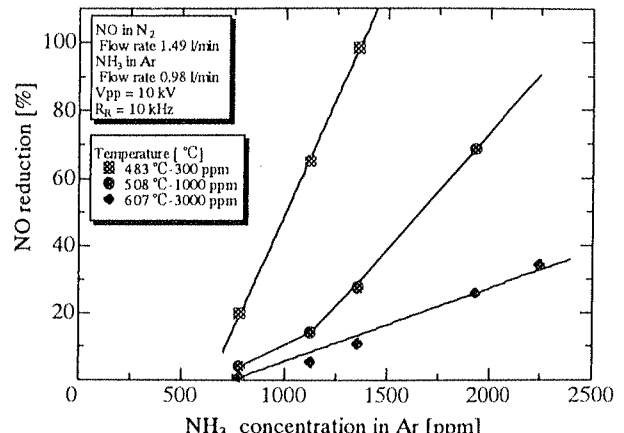
図4 NO除去率の反応温度依存性

Fig.4 NO reduction as a function of reaction temperature.

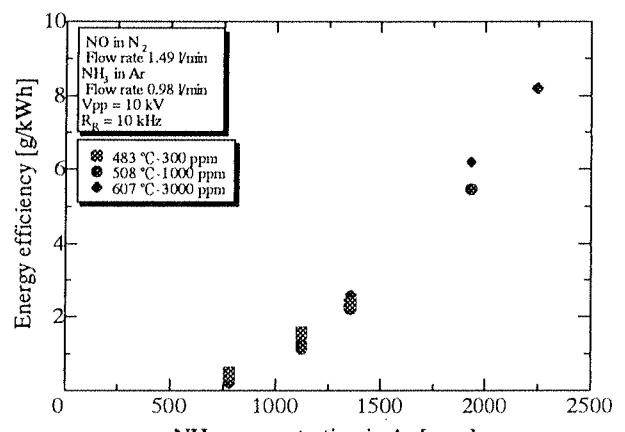
度におけるNO除去率とアンモニア濃度との関係を示す。NO濃度が1000 ppmの場合は上述のFig.4(b)にても示されるように508°CにおけるNO除去率と用いた。また、NO濃度が300 ppmと3000 ppmにおいても1000 ppmと同様の方法により飽和値を採用了。図より、アンモニア濃度に対し、NO除去率はいずれの場合も、直線的に増加するのがわかる。NO濃度1000 ppmの場合、アンモニア濃度2250 ppmでは採用了した温度508°CではほとんどNOは除去されないが、Fig.4(a)からわかるように約530°Cで約92%の除去率が得られている。この値はFig.5(a)の直線上に来る事がわかる。

一方、T<sub>c</sub>はNOの濃度が高くなるにつれて大きくなること、また、NOの除去に際してはアンモニアの濃度に閾値が存在することがわかる。本研究の条件下では約750 ppmである。これ以下では条件下的電気入力(プラズマ消費電力)ではNOの除去はおこらない。

Fig.5(b)はFig.5(a)の結果からエネルギー効率(単位電気入力に対するNO処理量、単位:g/kWh)を求めた結果である。NO除去率はエネルギー効率によりまとめられることがわかる。



(a) NO reduction



(b) Energy efficiency

図5 最適温度下でのNO除去率およびエネルギー効率

Fig.5 NO reduction and energy efficiency as a function of ammonia concentration.

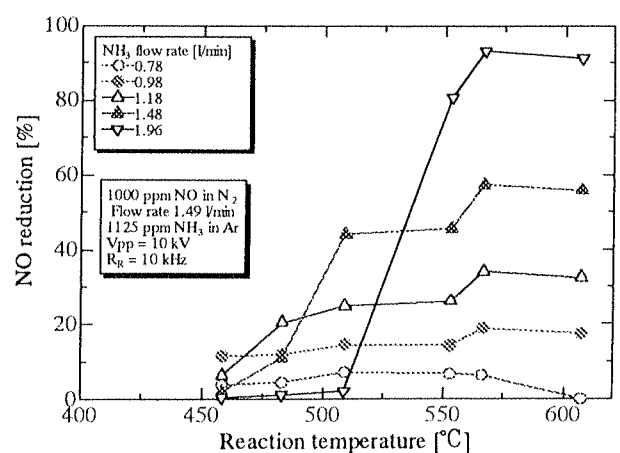


図6 アンモニア流量を変化させた場合のNO除去率と反応温度との関係

Fig.6 NO reduction as a function of reaction temperature for variation of ammonia flow rate.



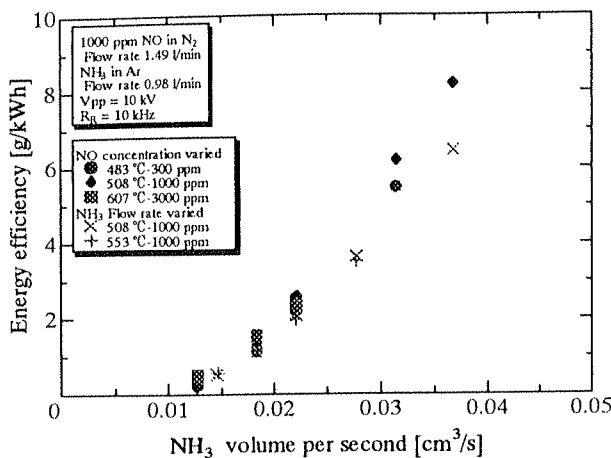
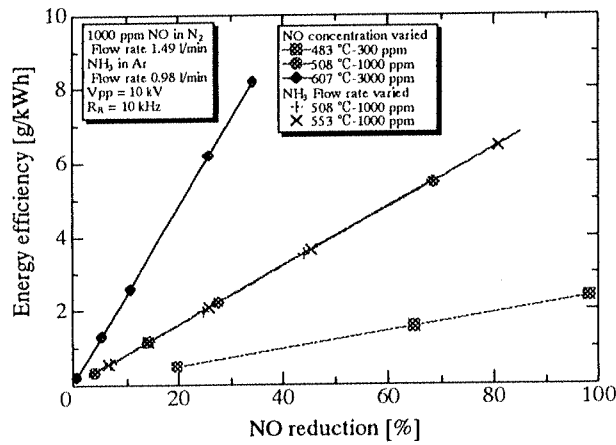


図7 エネルギー効率とアンモニア注入量との関係  
Fig.7 Energy efficiency as a function of ammonia volume per second.



すなわち、NO除去量の最大値は反応温度やNO濃度に依存せず、NH<sub>3</sub>の入口濃度により決まることを示している。したがって、生成されるアンモニアラジカル量に応じたエネルギー効率となつておらず、単位電気入力に対し、同一個数のNOが処理されることがわかる。この結果は、別の見方をすれば、NOの除去はNOガス温度に依存せず、NOとNH<sub>3</sub>の濃度比率によって決まるものといえる。

Fig.6はアンモニア濃度を1125 ppmにし、アンモニアの流量を変化させた場合のNOの除去率と反応温度との関係である。図の場合、アンモニア流量が1.96 l/minを除いてFig.4で見られたようなNO除去率の突発的な変化はおこらない。これは、単位時間当たりに流れるアンモニア量が少ないとときの特徴である。理由は十分に明らかでないが今後の検討課題である。いずれにしても反応温度によるNO除去率の変化が見られるが、全体的な特徴として、温度の増加とともにNO除去率は緩やかに飽和する傾向を示す。

Fig.7は全体のまとめとして混合部に流入するアンモニアの量とエネルギー効率の関係を示す。Fig.5(b)およびFig.6の結果からまとめられた。Fig.6においては、飽和値として温度が508°Cと553°Cの両者を取った。また、508°Cの場合、アンモニア流量1.96 l/minは除外した。図よりそれぞれの条件下における最大のNO除去量は注入される単位時間当たりのアンモニアの体積(言い換ればアンモニアラジカル量)によりNO除去が決定されることがわかる。すなわち、同一の放電電力の下でのNO除去率は処理ガスとラジカル剤の濃度や流量に依存せず単位時間当たりに流入する量によって決まることを表す。

#### 4.3 エネルギー効率とNO除去率の関係

Fig.8は、それぞれ、Fig.5(a)およびFig.6において最大のNOx除去率におけるエネルギー効率とNOx除去率との関係である。いずれの場合も、NOx除去率の増加とともにエネルギー効率は大きくなることがわかる。また、アンモニア流量を変えた場合も同一のNO濃度上の特性に合致することがわかる。

#### 5. むすび

アンモニアラジカルインジェクション方式により、NOガス処理を行った。研究では放電電力を一定として、NOの濃度、アンモニアの密度および流速を変え、ラジカル混合部のNOガスの温度によるNO分解の影響について検討した。

結論としてはNOの分解は注入するアンモニアの量(ラジカルの量)により、エネルギー効率が決まることを明らかにした。温度によるNO除去の効果についてまとめると以下のようになる。温度の変化に伴い、急速にNO除去率が大きくなる温度の閾値が存在することがわかった。この温度は注入するアンモニアの量に依存するようであり、低アンモニア量では温度に対し緩やかに推移する特性が得られた。急峻な変化を伴う場合の境界温度は実験条件下で、アンモニアの密度にはそれほど依存せず一定の値を示した。この事実を基礎として、NO除去率やエネルギー効率を求めた。この結果、アンモニアの流速や密度に関係なく、所定のアンモニアの量に基づくエネルギー効率の下で、NO除去量が決まることが示された。得られた結果の妥当性を示すためにアンモニアの流量を変化させた場合のNO除去に関して同様の温度依存性を調べた。その結果、最大の除去量はそれぞれのアンモニア流量により決まり、なおかつ、先にもとめたエネルギー効率に従う特性となることが明らかになった。また、最大のNOx除去率において、エネルギー効率は正の相関を持つことがわかった。

得られた結果はNO除去に関する一種の相似則であり、装置設計上重要な情報である。

本研究にて行った領域はエネルギー効率が低い条件下でNOx除去についての基礎資料を得るために行われた。今後、さらにエネルギー効率およびNOx除去率の両者が高い条件においてこの種のパラメータ研究を行い、一層の高効率NOx除去システムの開発を行う必要がある。



++++++ 参考文献 +++++

- [1] B. M. Penetrante, M. C. Hsiao, B. T. Merritt, G. E. Vogtlin, and P. H. Wallman, "Pulsed Corona and Dielectric-Barrier Discharge Processing of NO in N<sub>2</sub>", IEEE Trans. Plasma Sci., 1995, 23, pp.679-687.
- [2] B. M. Penetrante, M. C. Hsiao, B. T. Merritt, G. E. Vogtlin, and P. H. Wallman, "Comparison of Electrical Discharge Techniques for Nonthermal Plasma Processing of NO in N<sub>2</sub>", IEEE Trans. Plasma Sci., 1995, 23, pp.679-687.
- [3] T. Ohkubo, S. Kanazawa, Y. Nomoto, J.-S. Chang, and T. Adachi, "NO<sub>x</sub> Removal by a Pipe with Nozzle-Plate Electrode Corona Discharge System", IEEE Trans. Ind. Appl., 1994, 30, 4, pp. 856-861.
- [4] J. S. Chang, P. A. Lawless, and T. Yamamoto, "Corona Discharge Processes", IEEE Trans. Plasma Sci., 1991, 19, pp.1152-1166.
- [5] M. Votsmeier, S. Song, R. K. Hanson, and C. T. Bowman, "A shock tube study of the product branching ratio for the reaction NH<sub>2</sub> + NO using frequency-modulation detection of NH<sub>2</sub>", J. Phys. Chem. A, 1999, 103, 1566.

原稿受付日	平成 14 年 9 月 30 日
-------	------------------

